

الباب الخامس

عيوب التركيب البلوري Defects in Solids

استخدم العديد من الطرق لفحص التركيب البلوري منها طرق الحبيود مثل حبيود الأشعة السينية، حبيود الإلكترونات وحبيود النيترونات... وهى من الطرق الدقيقة لفحص تركيب بلورات المواد المختلفة. ولقد أكدت هذه الطرق حقيقة الاختلاف بين التركيب البلوري الحقيقى والتركيب المثالى، بسبب احتواء البلورات الحقيقية على العديد من أنواع العيوب مثل: الفراغات (vacancies)، الانخلاءات (dislocations)، الشوائب الكيميائية (chemical impurities).... إلخ. والتركيب البلوري يمكن أن يكون مثالياً فقط عند درجة حرارة الصفر المطلق، وأى ارتفاع فى درجة الحرارة ينشأ عنه تكون فراغات داخل هذا التركيب، حيث يكون وجودها ضرورياً للحفاظ على أقل طاقة حرية للنظام.

وعموماً يمكن أن تنشأ العيوب البلورية في الحالات الآتية:

- ١- أثناء نمو البلورات من المصهور (During Crystal growth).
 - ٢- عند تأثير إجهاد على البلورة (Plastic deformation).
 - ٣- عند تعرض البلورات للإشعاع (Radiation damage).
 - ٤- عند حدوث تبريد مفاجئ للمصهور (quenching).
 - ٥- عند اكتساب المادة لطاقة حرارية (Thermal agitation).
- وأنواع العيوب يمكن تقسيمها إلى ما يلى:

١- عيوب نقطية Point defects: وتشتمل على فراغات الشبكية Lattice vacancies، الذرات البينية من نوع ذرات البلورة Interstitial atoms، الذرات الشائبة الإحلالية Impurity substitutional atoms، الذرات الشائبة البينية Impurity interstitial atoms.

٢- عيوب خطية Line defects: وظهرت في صورة حلقات loops، وتشتمل

على انخلاعات الحافة Edge dislocations والانخلاعات اللولبية Screw dislocations.

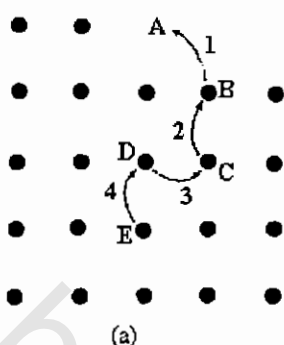
٣- عيوب سطحية Surface defects: وتشتمل على تجمعات التصدعات السطحية والعيوب الناتجة عن التصاق السطح بسطح الوسط المحيط والذي ينتج عنه ازدواجية في السطح الفاصل... إلخ. وفي هذا الباب سوف نتناول بالدراسة النوعين الأوليين.

العيوب النقاطية Lattice point defects

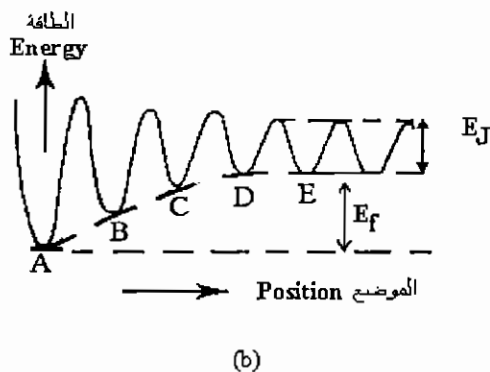
١. فراغات الشبكية Lattice vacancies

يبين شكل (a. 5-1) مقطعاً من بللورة بالقرب من السطح. نفرض أن ذرة مثل B قد قفزت إلى الموضع A على السطح تاركة خلفها فراغاً، هذا الفراغ يمكن أن تشغله ذرة أخرى مثل C، حيث يتكون في مكانها الأصلي فراغ آخر. وتتكرر عمليات قفز الذرات من أماكنها عند تعديل أوضاعها التhermodynamيكية لتملأ الفراغات الخالية تاركة خلفها فراغات أخرى. هذا النوع من القفزات المتتالية يؤدي إلى عملية انتشار فراغ الشبكية داخل البللورة، وهو في نفس الوقت يعتبر انتشاراً للذرات نفسها. والطاقة اللازمة لإتمام هذه العملية والتي ينتج عنها تكون فراغ داخل البللورة تسمى بطاقة التكوين ويرمز لها بالرمز E_v .

وفي الواقع فإن قيمة هذه الطاقة تتحدد بقيمة الطاقة المستنفدة في العدد الصغير من القفزات الذرية الأولى، وذلك لأنّه بزيادة المسافة بين المصدر (أول موضع خالي يحدث فيه أول قفزة ذرية) وبين الفراغ المتكوين بمقدار عدة ثوابت بللورية، فإن طاقة البللورة تصبح مستقلة عن موضع تمركز الفراغ، أو بمعنى آخر فإنه يلزم لإحداث أول قفزة ($B \rightarrow A$) طاقة كبيرة نسبياً، حيث تقل تدريجياً في القفزات التي تليها، وتصبح لها قيمة ثابتة E_f تساوى طاقة الحاجز بين أي موضعين متقاربين في الشبكية (شكل 5-1.b).



(a)

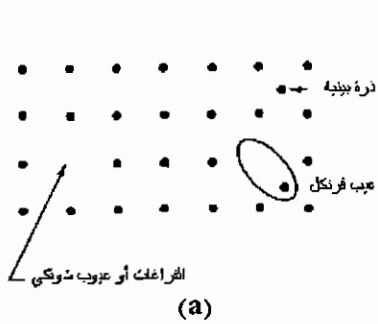


(b)

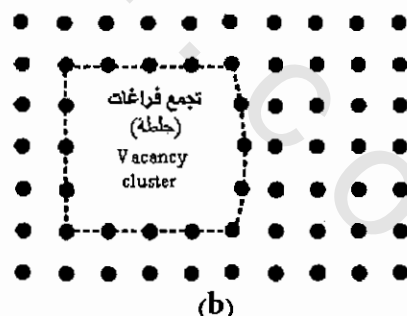
شكل (1-5): عملية تكون الفراغات داخل البللورة (a) والطاقة اللازمة لإتمام العملية (b)

٢. الذرات البينية والذرات الإحلالية

قد يحدث نتيجة الإثارة الحرارية أو لأى سبب خارجى آخر أن تهجر بعض الذرات القريبة من السطح أماكنها إلى سطح المادة حيث تتكون فراغات داخل الشبكة في مواضع بعض العقد البللوري مسببة بذلك عيوباً في التركيب البللوري، هذه العيوب تسمى عيوب شوتكي Schottky defects (شكل ٥-٢ a.). وفي بعض الأحيان قد يستلزم الحفاظ على الاتزان الثيرموديناميكي للنظام أن تهجر بعض الذرات مواضعها ل تستقر في مواضع بينية Interstitial sites (شكل ٥-٢ b.)، ويسمى هذا النوع من التشوه البللوري عيوب فرنكل Frenkel defects (شكل ٥-٢ b.). كما يمكن لفراغين أو أكثر للعقد البللوري المتجاورة أن يشغلوا موضعين أو أكثر مكونين ما يعرف بالجلطة vacancy cluster (شكل ٥-٢ b.).



(a)

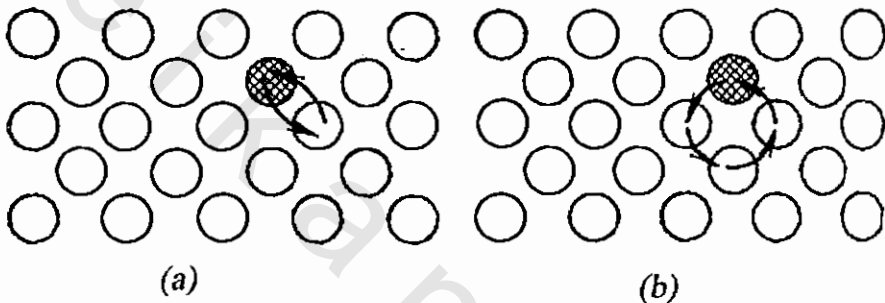


(b)

شكل (٥-٢): العيوب النقاطية، عيوب شوتكي
وفرنكل (a) وتجمع الفراغات (جلطة) (b)

٣. الذرات الشائبة الإحلالية والذرات الشائبة البيانية

في حالة السبائك (أى المواد التى تركيبها البللورى يحوى أكثر من نوع من الذرات، حيث يمكن اعتبار أن نوع الذرات ذا النسبة الأقل بمثابة شوائب فى البللور) قد يحدث أن تتحشر ذرات أصغر النوعين حجماً فى منطقة بينية (بين مواضع عقد الشبكية خاصة إذا كان تركيز هذه الشوائب صغيراً)، ويعرف هذا النوع بعيوب الشوائب المتخاللة *impurity interstitial defects*. كذلك فإنه يمكن للذرات تحت ظروف معينة أن تستبدل مواضعها، وقد يحدث ذلك لذرتين أو أكثر كما هو مبين في شكل (5-3). وتبادل مواضع الذرات يسبب وجود تشوهات فى التركيب البللورى يعرف بعيوب الشوائب الإحلالية *impurity substitutional defects*.



شكل (3-5): العيوب الأخلاقية عن طريق تبادل الواقع لذرتين (a) أو أربع ذرات (b)

الانتشار الذري في التركيب البلوري atomic diffusion in crystals

يتضح مما سبق أنه يمكن أن تنتشر الذرات في البلازما بوحدة أو أكثر من الطرق التالية:

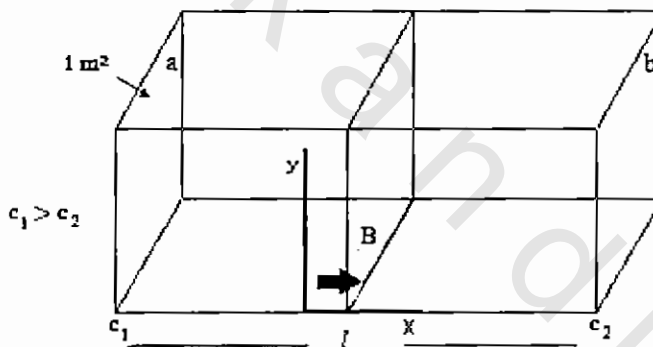
- ١- الانتشار التبادلى: والذى فيه تتبادل الموضع بين ذرتين أو أكثر.
 - ٢- الانتشار التخللى: ويحدث ذلك لذرات الشوائب إذا كان حجمها أصغر منه لذرات المادة الأصلية. فمثلاً تنتشر ذرات الكربون في بلورة الحديد حيث إن حجم ذرة الكربون يساوى 6×10^{-10} م من حجم ذرة الحديد.
 - ٣- الانتشار عن طريق الفراغات: ويتم هذا النوع من الانتشار عن طريق انتقال الذرة من مكانها وشغلها للمكان الحالى.

وطرق الانتشار في مادة ما تتوقف على شكل تركيبها البللوري ونوع ذراتها.

ففى المواد النقية يتم الانتشار (يسمى انتشار ذاتى) عادة بواسطة الفراغات. أما فى السبائك (المحاليل) فإن الانتشار يمكن أن يتم عن طريق التخلل إذا كانت ذرات أحد أنواع مكوناتها صغيرة بالنسبة للذرات الأخرى، ويتم عن طريق التبادل إذا كان حجما النوعين متقاربين.

Fick's diffusion laws قوانين الانتشار لفيك

نفرض سبيكة ما على هيئة قضيب مساحة مقطعيه الوحدة، والتركيب البلورى لها يحوى أكثر من نوع من الذرات، فإذا افترضنا أن تركيز الذرات A لأحد هذه الأنواع يتغير بانتظام في اتجاه معين (مثلاً)، فإنه يمكن القول إن التركيز للذرات A عند المستوى (a) أكبر من تركيزها عند المستوى (b) (شكل 5-4). والآن إذا أخذنا المستوى B في منتصف المسافة بين المستويين a, b ويوازيهما، فإن الذرات A في أثناء انتشارها تعبر المستوى B من الجانبيين.



شكل (5-4): الانتشار الذرى في البلورات

عدد مرات القفز من المستوى (a) إلى المستوى (b) في وحدة المساحات في الثانية الواحدة يساوى $P_{ab} \cdot n_1$ ، وفي الاتجاه المضاد (أى من b إلى a) يساوى $P_{ba} \cdot n_2$ ، حيث n_1 ، n_2 هما عددا الذرات A في المستوىين (b)، (a) على الترتيب، P_{ab} ، P_{ba} هما الاحتمال لوحدة الزمن كى تقفز ذرة A من المستوى (a) إلى المستوى (b) والعكس على الترتيب. لذا فإن محصلة التدفق « f_D » تعطى بالعلاقة الآتية:

$$f_D = P_{ab}n_1 - P_{ba}n_2 \quad (5-1)$$

فإذا افترضنا أننا ندرس التدفق عند نقطة داخل البلورة، وبفرض أن التركيز حول هذه النقطة يكون واحداً، فإن احتمال حدوث قفزة للذرة في أي اتجاه يكون ثابتاً،

حيث إن هذا الاحتمال يعتمد على التركيز أى أن:

$$P_{ab} = P_{ba} = P$$

$$f_D = P(n_1 - n_2)$$

فإذا كانت المسافة بين المستويين (b)، (a) هي فإن المال أو التدرج التركيزى (dc/d) يعطى كالتالى:

$$(dc/dx) = (n_1 - n_2) / \ell$$

و يكون مقدار التدفق في وحدة الحجوم في الثانية الواحدة هو :

$$f_D = P\ell (dc/dx)$$

وبالضرب في الحجم m^3 نحصل على التدفق للحجم الكلى في وحدة الزمن كالآتى:

$$f_D = P\ell^2 (dc/dx) \quad (5-2)$$

والإشارة السالبة ضرورية لأن التدفق f_D يحدث دائمًا في اتجاه نقص التركيز، والعلاقة (٢-٥) يمكن وضعها في صورة المتجهات الآتية:

$$fD = - D \operatorname{grad} C \quad (5-3)$$

حيث $D = P\ell^2 m^2 sec^{-1}$ يسمى معامل الانتشار، fD - التيار الانتشاري، وتعرف العلاقة (٥-٣) بالقانون الأول لفيك للانتشار. معامل الانتشار D للمواد التي خواصها واحدة في جميع الاتجاهات (isotropic) هو كما سبق يساوى (مربع مسافة الانتشار/ زمن الانتشار)، أما المواد مختلفة الخواص في الاتجاهات المختلفة anisotropic فإن قيمة D تختلف أيضًا باختلاف هذه الاتجاهات. وترتبط قيمة D بدرجة الحرارة المطلقة T بالعلاقة الأسيّة الآتية:

$$D = D_0 e^{-E/k_B T} \quad (5-4)$$

حيث E تسمى طاقة التنشيط للانتشار k_B ثابت بولتزمان، D_0 ثابت لا يعتمد على درجة الحرارة.

والملاحظ أن قانون فيك المعطى بالعلاقة (٥-٣) يهمل تأثير الزمن على عملية الانتشار، أى يصلح استخدامه فقط في حالة التدفق المنتظم steady state flow وهذا يتّأدى فقط إذا كان المال التركيزى ثابت، أو بمعنى آخر عندما يكون التركيز عند أي نقطة ثابتًا، وفي الواقع، فإن عملية الانتشار نفسها تؤدي إلى تغيير التركيز عند أي نقطة مع الزمن، لذلك يلزم إدخال الزمن كمتغير في علاقة الانتشار. ولهذا نفرض

عنصرا من المادة مساحة مقطعيه $1m^2$ وسمكه dx مترا، تنتشر المادة خلاله في الاتجاه x كما هو مبين بشكل (5-5). ورغم أن التركيز عند أي نقطة يتغير مع الزمن، فإن كمية المادة الكلية المنتشرة في حجم $V = \frac{dc}{dt} dt$ من الجسم تظل ثابتة مع الزمن. واضح أن كمية المادة المنتشرة في الحجم $dx m^3$ تكافئ الفرق بين تدفق المادة على جانبي الشريحة x ، $x + dx$

$$\text{i.e. } V \left(\frac{dc}{dt} \right) = \left(\frac{dc}{dt} \right) dx = f_{D_1} - f_{D_2}$$

بالتعويض عن f_{D_2} نجد أن:

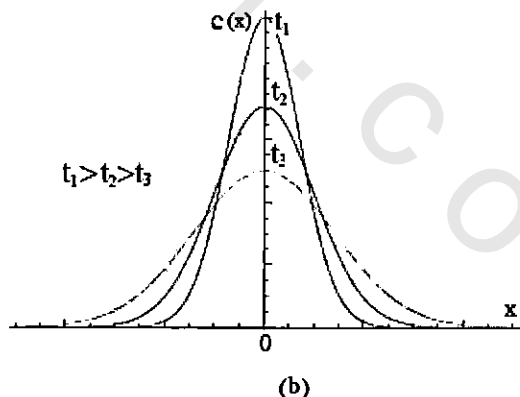
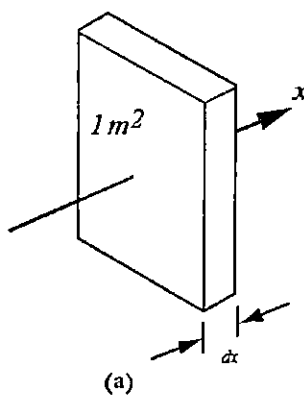
$$\begin{aligned} \left(\frac{dc}{dt} \right) dx &= \{ -D \left(\frac{dc}{dx} \right)_x - [-D \left(\frac{dc}{dx} \right)_{x+dx}] \} \\ &= D \left[\left(\frac{dc}{dx} \right)_{x+dx} - \left(\frac{dc}{dx} \right)_x \right] \\ &= D d \left(\frac{dc}{dx} \right) = D \left(\frac{d}{dx} \right) \left(\frac{dc}{dx} \right) dx \\ &= D \left(\frac{d^2c}{dx^2} \right) dx \end{aligned} \quad (5-5)$$

$$\therefore \frac{dc}{dt} = D \frac{d^2c}{dx^2} \quad (5-6)$$

وبحساب الانتشار في الاتجاهات الثلاثة X, Y, Z فإن :

$$\begin{aligned} \frac{dc}{dt} &= D \left(\frac{d^2c}{dx^2} + \frac{d^2c}{dy^2} + \frac{d^2c}{dz^2} \right) \\ &= D \nabla^2 c \end{aligned} \quad (5-7)$$

حيث ∇^2 هو مؤثر لابلاس Laplace's operator، وتسمى هذه العلاقة بقانون الانتشار الثاني لفيك في صورته التفاضلية.



شكل (5-5): الانتشار خلال شريحة سماكة dx (a) اعتماد التركيز على مسافة وזמן الانتشار (b)

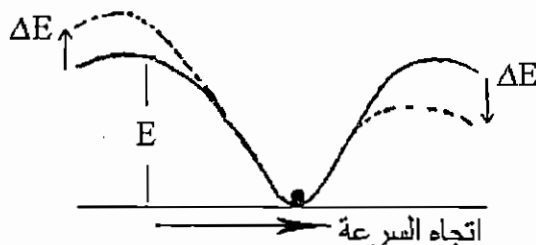
والآن، إذا افترضنا قضيباً من مادة نقيبة طوله لانهائي ومساحة مقطعه الوحدة (شكل 5-5)، وأننا أدخلنا كمية S من مادة منتشرة عند $x = 0$ ، فإن حل معادلة الانبعاث في الاتجاه يعطى من العلاقة الآتية:

$$C = \frac{S}{2\sqrt{\pi D t}} e^{-x^2/4Dt} \quad (5-8)$$

فإذا رسمت هذه العلاقة لأزمنة مختلفة، فإننا نحصل على منحنيات تتطابق مع المنحنيات العملية وتكون هذه المنحنيات متقارنة حول المحور $x = 0$ كما هو مبين بشكل 5-5.

وقوانيين فيك للانتشار لا يمكن تطبيقها في الحالات التالية:

- في حالة انتشار مادة يمكن أن تتحدد كيميائياً مع مادة البلاستيك، فمثلاً عند انتشار الكربون في الفلزات، يحدث نتيجة للتفاعل الكيميائي أن تكون كربيدات الفلزات، وبالتالي فأى انتشار للكربون بعد ذلك داخل البلاستيك يكون انتشاراً في كربيد الفلز.
- إذا كانت الجزيئات المنتشرة مشحونة، حيث عند انتشارها تتأثر بال المجال الكهربائي المؤثر، وبالتالي فإنها تكتسب سرعة (طاقة) في اتجاه أو ضد اتجاه المجال (تبعاً لنوع شحنتها) ويؤدي ذلك إلى نقص ظاهري في ارتفاع حاجز الطاقة في اتجاه سرعتها وزيادة ظاهرية في الاتجاه المضاد (شكل 5-6).
- إذا كانت الجزيئات المنتشرة ثنائية الشحنة وفي بلاستيك أحادي التأين، حيث عندما يحل آيون ثالثي بدلاً من آيون أحادي في البلاستيك، فإنه كى تحافظ البلاستيك على تعادلها الكهربائي لابد أن ينشأ فراغ مشحون داخل البلاستيك.



شكل (5-6): تغير حاجز الطاقة أثناء انتشار الجزيئات المشحونة

إنتروبيا النظام البلوري The entropy of crystalline system

المفهوم الفيزيائي للإنتروبيا: الإنتروبيا هي متغير يعبر عن حالة الفوضى (disorder) في نظام ثيرموديناميكي معين. فإذا اكتسب نظام ما كمية من الحرارة ΔH سعراً عند درجة الحرارة المطلقة T ، فإن التغير في إنتروبيا النظام S ΔS يعطى كالتالي:

$$\Delta S = \Delta E/T \quad (5-9)$$
$$\Delta E = J \cdot \Delta H$$

حيث $E\Delta$ هي الطاقة الحرارية المكتسبة، $J = 4.18 \text{ J/cal}$ هو ثابت جول. وتكون ΔS موجبة عندما يكتسب النظام كمية من الحرارة، حيث تؤدي إلى زيادة حركة مكوناته وبالتالي زيادة الفوضى، والعكس إذا فقد النظام كمية من الحرارة، فهذا يعني نقصاً في فوضى النظام. أما إذا كانت درجة الحرارة ثابتة، فإن التغير في الإنتروبيا يكون ناتجاً عن تغير طوري (التحول من صلب إلى سائل مثلاً) أو ناتجاً عن التغير في الطاقة الداخلية بسبب تغير الطاقة الاهتزازية للذرات.

مثال (١): كم يكون التغير في الإنتروبيا عند انصهار قطعة من الثلج كتلتها 20gm في درجة الصفر المئوي، إذا كانت الحرارة الكامنة لانصهار الجليد تساوى 80 cal/gm ؟
الحل:

$$\Delta E = J \Delta H = 4.18(20 \times 80) = 6700 \text{ J}$$

$$\Delta S = \Delta E / T = 6700 / 273 = 24.5 \text{ J/K}$$

أى أن إنتروبيا النظام ازدادت عند تحول الثلج إلى ماء، وهذه الزيادة تعتبر مقياساً لفوضى جزيئات الماء.

وترتبط الإنتروبيا بالطاقة الداخلية للنظام من خلال القانون الأول للديناميكا الحرارية بالصورة التالية:

$$F = U - TS \quad (5-10)$$

حيث U & F هما الطاقتان الحرية والداخلية للنظام على الترتيب، TS - طاقة الإنتروبيا.

والآن، إذا كان لدينا عدد N من الذرات، n من الفراغات يراد توزيعها داخل التركيب البلوري، فإن عدد الطرق المختلفة لهذا التوزيع تعطى من العلاقة الإحصائية الآتية:

$$W = (N+n)! / (N! n!) \quad (5 - 11)$$

فإذا كانت $n=2$ ، $N=10$ فإن:

$$W = (10+2)! / (10! 2!) = 66$$

أى أنه يمكن الحصول على حالة ما من التوزيع لهذه البلاورى بعدد يساوى 66 طريقة مختلفة.

وعومما إذا كان لدينا نظام ما يمكن أن يصل إلى حالة معينة بعدد W من الطرق المختلفة، فإنه بواسطة الديناميكا الحرارية والميكانيكا الإحصائية أمكن ربط هذا العدد W بانتروبيا النظام S بالعلاقة التالية:

$$S = k_B \ln W \quad (5 - 12)$$

حيث k_B - ثابت بولتزمان.

الإنتروبيا التكoinية والإنتروبيا الحرارية للنظام البلاورى configurational and thermal entropies

الإنتروبيا S في نظام بلاورى هي مجموع الإنتروبيا التكoinية S_{conf} . (التي تعبر عن الفوضى فى نظام التكoin البلاورى) والإنتروبيا الحرارية S_{th} (التي تعبر عن الفوضى الناشئة عن التغير الحرارى للنظام).

$$\text{i.e} \quad S = S_{\text{conf}} + S_{\text{th}} \quad (5 - 13)$$

ووجود عدد n من الفراغات داخل نظام بلاورى مكون من عدد N من الذرات يسبب زيادة فى إنتروبيا التكoin تعطى كالتى:

$$S_{\text{conf}} = k_B \ln W_{\text{conf}} = k_B \ln [(N+n)! / (N!n!)] \quad (5 - 14)$$

وباستخدام صيغة ستيرلنج (Stirling formula) حيث :

$$\ln x! = x \ln x - x \quad \text{for } x \gg 1 \quad (5 - 15)$$

$$\begin{aligned} S_{\text{conf}} &= k_B [(N+n) \ln (N+n) - (N+n) - (N \ln N - N) - (n \ln n - n)] \\ &= k_B [(N+n) \ln (N+n) - N \ln N - n \ln n - (N+n) + (N+n)] \\ &= k_B [N \ln (N+n) + n \ln (N+n) - N \ln N - n \ln n] \end{aligned}$$

وعادة يكون $N \gg n$ ، لذا يمكن إهمال n بالنسبة للعدد N .

$$\begin{aligned} S_{\text{conf.}} &= [(N \ln N + n \ln N - N \ln N - n \ln n)] \\ &= n k_B \ln (N/n) \end{aligned} \quad (5 - 16)$$

إذا اكتسبت البلازما كمية من الحرارة، فإن طاقة تذبذب العقد سوف تزداد ويؤدي ذلك إلى زيادة الإنترودي بالقيمة الآتية :

$$S_{th} = k_B \ln W_{th} \quad (5-17)$$

حيث W_{th} هي عدد الطرق المختلفة التي تتوزع بها الطاقة الاهتزازية للبلازما على كل الاهتزازات الممكنة فيها، فإذا كانت كل ذرة تذبذب بثلاثة اهتزازات لكل منها تردد ν في الاتجاهات الثلاثة، فإن عدد الاهتزازات الممكنة يساوي $3N$ ، حيث يمكن من الميكانيكية الإحصائية إثبات أن:

$$W_{th} = e^{3N} [(1 + \ln(k_B T / h\nu))] \quad (5-18)$$

$$S_{th} = 3N k_B [1 + \ln(k_B T / h\nu)] \quad (5-19)$$

لذلك فإن الإنتروديا الكلية S للنظام تكون كالتالي:

$$S = n k_B \ln(N/n) + 3N k_B [1 + \ln(k_B T / h\nu)] \quad (5-20)$$

مثال(٢) : إذا كان 1m^3 من النحاس يحتوى على عدد من الذرات يساوى 8.57×10^{28} ذرة عند درجة حرارة 1000K ، فإذا علمت أن كثافة النحاس تساوى 8960Kgm^{-3} عند هذه الدرجة، فأوجد قيمة إنتروديا النظام عند الدرجة المذكورة إذا كان:

$$n/N \text{ (at } 1000\text{K)} = 4 \times 10^{-5}, k_B = 1.38 \times 10^{-23} \text{ JK}^{-1}$$

$$, h = 6.62 \times 10^{-34} \text{ Js}, \nu = 1 \times 10^{13} \text{ Hz}.$$

الحل :

$$n = 4 \times 10^{-5} N = 4 \times 10^{-5} \times 8.57 \times 10^{28} = 3.428 \times 10^{24}$$

$$S_{conf} = n k_B \ln(N/n) = 0.0004785 \text{ JK}^{-1}$$

$$S_{th} = 3N k_B [1 + \ln(k_B T / h\nu)] = 6.15929 \text{ JK}^{-1}$$

$$S = S_{conf} + S_{th} = 6.1598 \text{ JK}^{-1}$$

وتكون طاقة الإنتروديا (TS) هي $TS = 6.1598 \times 10^3 \text{ J}$:

نستنتج من هذا المثال ما يلى :

$$1. \quad S_{th} / S_{conf} \approx 13 \times 10^3$$

وهذا يعني أن الإنتروديا الحرارية تشارك في إنتروديا النظام الكلية بقيمة كبيرة جدا بالنسبة لنظيرتها الخاصة بالتكوين.

$$2. \quad TS/n = 6.1598 \times 10^3 / 3.428 \times 10^{24} = 1.797 \times 10^{-15} \text{ J}$$

وهذا يعني أن الفراغ الواحد يمكن أن يسبب زيادة مقدارها $1.797 \times 10^{-15} \text{ J}$ في طاقة إنتروديا النظام.

٣. من المعروف أن الطاقة الحرية لأى نظام بللوري تكون عند قيمتها الصغرى عند درجة الصفر المطلق، وبارتفاع درجة الحرارة عن ذلك تزداد طاقة الجزيئات أو الذرات (الطاقة الداخلية للنظام). ولما كان أى نظام يحاول الحفاظ على طاقته الحرية عند قيمتها الصغرى، فإن هذه الزيادة في الطاقة الداخلية لابد أن تقابلها زيادة مكافئة في إنترودبيا النظام بحيث تصبح الطاقة الحرية للنظام F عند نفس قيمتها الصغرى (كما يتضح من القانون الأول للديناميكا الحرارية). بحيث إن وجود الفراغات يسبب زيادة في طاقة إنترودبيا النظام (كما تبين من المثال السابق) فإن النظام يحاول خلق عدد مناسب من الفراغات داخله ليتمكن من موازنة الزيادة في طاقته الداخلية عند أى درجة حرارة أعلى من الصفر المطلق. وعلى ذلك فإن أى نظام بللوري لابد أن يتواجد به عدد مناسب من الفراغات إذا كانت درجة حرارته أعلى من الصفر المطلق.

إنترودبيا النظام البللوري الحقيقي Entropy of a real crystal

كما بينا آنفاً، فإن النظام البللوري الذي يحتوى على عدد N ذرة يكون حالياً من الفراغات عند $T = 0K$ ويسمى نظاماً تماماً (perfect). فإذا أصبحت $T > 0K$ فإن عدداً مناسباً n من الفراغات يتكون داخل النظام للحفاظ على الاتزان التhermodinamikي، ويصبح النظام غير تام (imperfect). وباعتبار أن تأثير تكون الفجوات يمتد فقط لأقرب الجيران من الذرات المجاورة لكل فراغ، فإن هذه الذرات تتذبذب بتردد v يختلف عن التردد v' للذرات البعيدة عن الفراغات. فإذا افترضنا أن عدد أقرب الجيران هو m فإن عدد الذرات التي لها تردد v' يساوى nm ، عدد الذرات التي لها تردد v يساوى $N-nm$ ، لذلك فإن:

$$\begin{aligned} S_{th(imperf.)} &= 3mnk_B [1 + \ln(k_B T/hv')] + 3(N-mn) k_B [1 + \ln(k_B T/hv)] \\ S_{th(perf.)} &= 3N [1 + \ln(T/hv)] \\ \therefore \Delta S_{th} &= S_{th(imperf.)} - S_{th(perf.)} \\ &= 3mn [\ln(T/hv') - \ln(k_B T/hv)] \\ &= 3mn \ln(v/v') \end{aligned} \quad (5-21)$$

وتكون الزيادة في الإنترودبيا الحرارية نتيجة لفراغ واحد هي:

$$\delta S_{th} = \Delta S_{th}/n = 3mk_B \ln(v/v') \quad (5-22)$$

وبالنسبة لإنترودبيا التكوين فإن :

$$\begin{aligned} S_{\text{conf,imp.}} &= k_B \ln ((N+n)! / N!n!) = nk_B \ln (N/n) \\ S_{\text{conf,perf.}} &= 0 \\ \Delta S_{\text{conf}} &= nk_B \ln (N/n) \end{aligned} \quad (5-23)$$

أى أن الفراغ الواحد يسبب زيادة في إنترودبيا التكوين مقدارها هو:

$$\delta S_{\text{conf}} = k_B \ln (N/n) \quad (5-24)$$

وتكون الزيادة في الإنترودبيا الكلية الناتجة عن فراغ واحد هي:

$$\begin{aligned} \delta S_{\text{total}} &= \delta S_{\text{th}} + \delta S_{\text{conf}} \\ &= 3mk_B \ln (v/v') + k_B \ln (N/n) \\ &= k_B \ln [(N/n)(v/v')^{3m}] \end{aligned} \quad (5-25)$$

اعتماد تركيز الفراغات على درجة الحرارة

مما سبق يتضح أنه عند أي درجة حرارة T فإن البلاوره التامة يكون لها إنترودبيا حرارية فقط حيث $S_{\text{conf}} = 0$ ، وبالتالي فإن القانون الأول للديناميكا الحرارية يمكن كتابته على الصورة التالية:

$$F_{\text{perf.}} = U_{\text{perf.}} - TS_{\text{th}} \quad (5-26)$$

وإذا كانت $T > 0K$ ، فإن عددا n فراغا سوف تخلق في النظام، فإذا كانت طاقة تكوين الفراغ الواحد هي nE_v ، فإن الطاقة الداخلية للنظام سوف تزداد بمقدار طاقة التكوين nE_v للفراغات، كما أن إنترودبيا النظام تزداد بالمقدار ($\Delta S_{\text{th}} + \Delta S_{\text{conf}}$)، لذلك فإن المعادلة (5-26) تصبح للنظام غير التام كالتالي:

$$\begin{aligned} F_{\text{imp.}} &= U_{\text{perf.}} + nE_v - T(S_{\text{th}} + \Delta S_{\text{th}} + \Delta S_{\text{conf}}) \\ &= (U_{\text{perf.}} - TS_{\text{th}}) + nE_v - nT(\Delta S_{\text{th}} + \Delta S_{\text{conf}}) \\ &= F_{\text{perf.}} + nE_v - nT(\Delta S_{\text{total}}) \end{aligned} \quad (5-27)$$

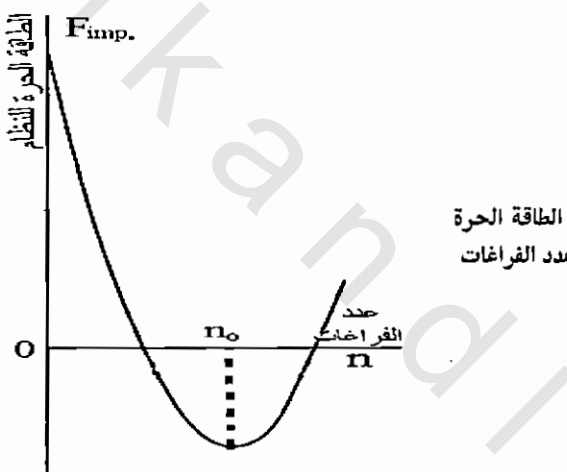
وقيمة الطاقة الحرة للنظام تكون صغرى عندما يكون عدد الفراغات n بالنظام مناسبا لإعطاء زيادة في طاقة الإنترودبيا مساوية للزيادة في الطاقة الداخلية للنظام. وتحتفل قيمة F عن قيمتها الصغرى F_{\min} عند أي عدد من الفراغات يسبب زيادة أو نقصا في قيمة الإنترودبيا عن قيمة التغير في الطاقة الداخلية (شكل 5-7)، حيث يتضح أن:

بإجراء تفاضل العلاقة (5-27) نحصل على:

$$\frac{dF_{\text{imp.}}}{dn} \Big|_{n=n_0} = 0 \quad (5-28)$$

يتضح من العلاقة السابقة أنه عندما $T = 0\text{K}$ فإن عدد الفراغات يساوى صفرًا في

$$\begin{aligned} \frac{dF_{\text{imp.}}}{dn} \Big|_{n=n_0} &= \frac{d}{dn} [F_{\text{perf.}} + nE_v - nT(\delta S_{\text{total}})] \\ \text{i.e.} \quad 0 &= 0 + E_v - T\delta S_{\text{total}} \\ \therefore \quad E_v &= T\delta S_{\text{total}} = k_B T \ln \left[\left(N/n_0 \right) \left(v/v' \right)^{3m} \right] \\ N/n_0 &= \left(v/v' \right)^{3m} e^{\frac{E_v}{k_B T}} \\ \text{i.e.} \quad n_0/N &= \left(v/v' \right)^{3m} e^{-\frac{E_v}{k_B T}} \end{aligned} \quad (5-29)$$

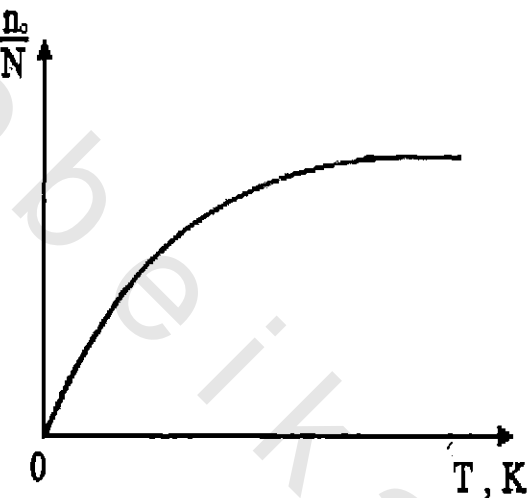


شكل(5-7): اعتماد الطاقة الحرية للنظام البللوري على عدد الفراغات

النظام. ويرفع درجة الحرارة T فإن عدد الفراغات الأتزاني n_0 يزداد أسيًا مع T (شكل 5-8). ولقد وجد أن التغير النسبي n_0/N يتناصف طردية مع التغير في مقاومة المادة ΔR . لذلك، فإنه يمكن عمليًا تحقيق العلاقة السابقة أو دراسة التغير n_0/N مع درجة الحرارة وذلك بدراسة ΔR مع T .
بطريقة مماثلة يمكن الحصول على علاقة اعتماد عيوب فرنكل على درجة الحرارة، والتي يمكن كتابتها بالصورة التالية:

$$n_e = (NN')^{1/2} e^{-E_v/k_B T} \quad (5-30)$$

حيث N - عدد عيوب فرنكل، N' عدد الأماكن البنية المشغولة، E_f طاقة التكوين لعيوب فرنكل.



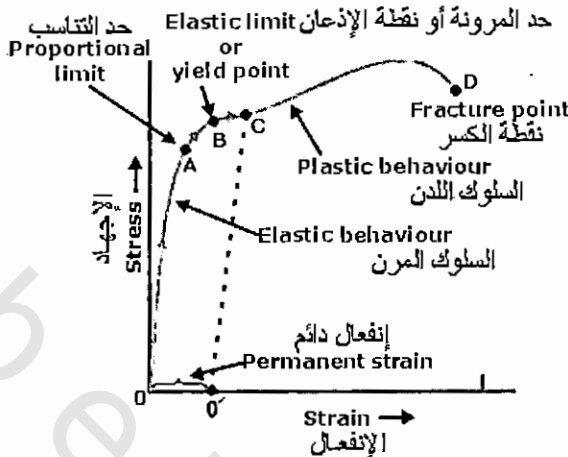
شكل (5-8): اعتماد تركيز الفراغات في النظام على درجة الحرارة

ولقد تبين أن المادة تعانى نقصا فى كثافتها بسبب عيوب شوتکى، حيث إن حجمها يزداد دون زيادة مقابلة فى كتلتها. فى حين أن وجود عيوب فرنكل لا يسبب تغيرا فى كثافة البليورة، وذلك لأن الزيادة فى الحجم بسبب هذه العيوب يقابلها نقص مكافى فى الحجم نتيجة لانضغاط أجزاء الشبكية البليورية.

العيوب الخطية

عند دراسة الخواص الميكانيكية للبليورات تبين وجود فرق كبير فى خواص البليورات المتماثلة عنها للبليورات الحقيقية. ويرجع هذا الفرق إلى وجود كميات كبيرة من عيوب معينة فى التركيب资料 عرفت بالانخلاعات (Dislocations). فإذا وضعت مادة بليورية تحت تأثير قوة صغيرة (فى مدى المرونة) فإن المادة تتغير أبعادها (أى تنفعل)، فإذا أزيل تأثير هذه القوة فإن المادة تستعيد حالتها الأصلية، وفي هذا المدى يتتناسب الإجهاد المؤثر طرديا مع مقدار الانفعال الحادث للمادة، وهو ما يعرف بقانون هوك. أما إذا كانت القوة المؤثرة كبيرة بحيث يتعدى تأثيرها منطقة مرونة المادة، فإن الانفعال الحادث لا يتلاشى كلية عند زوال القوة المؤثرة، ولكن تبقى قيمة معينة من هذا الانفعال (الجزء ٥٠ في شكل ٩-٥).

شكل (5-9): العلاقة بين الإجهاد والانفعال (منحنى المرونة) للمادة



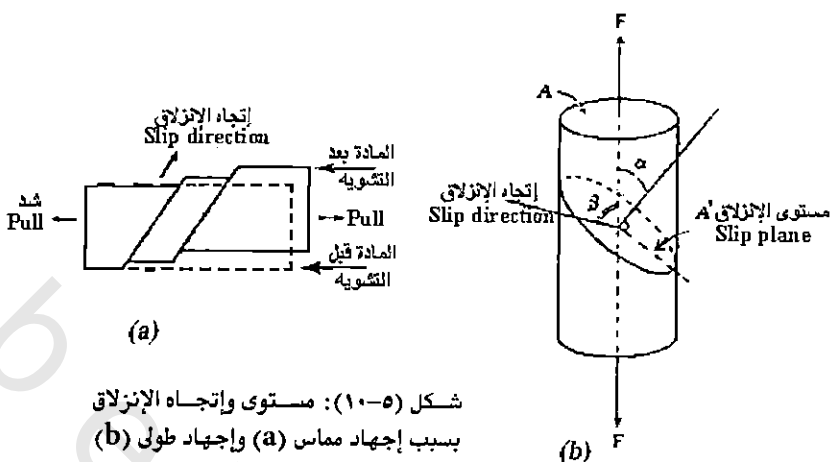
وفي مدى المرونة يكون تأثير الإجهاد بحيث يسبب إزاحة كل ذرة من ذرات البلاستيك بعيداً عن مواضع استقرارها إزاحات مرتنة ومتجانسة، وبالتالي فإن الانفعال يكون متجانساً لكل أجزاء البلاستيك، بينما إذا تعددت قيمة الإجهاد حد المرونة، فإن تأثيره على البلاستيك لا يكون متجانساً، بل يكون الانفعال قوياً في مناطق معينة. فإذا كان الإجهاد كبيراً بدرجة كافية فإنه يحدث قطع موضعي للروابط بين الذرات في هذه المناطق، وينشأ عن ذلك انزلاق (Slip) لمستوى ذري أو أكثر (شكل a. 5-10)، فإذا أثرت قوة الشد F عمودياً على المقطع A من إسطوانة مثبتة عند قاعدتها (شكل b. 5-10)، وكان المستوى الذري ذو المساحة A' يمثل مستوى الانزلاق، فإن:

$$A' = A / \cos\alpha$$

وتكون القوة الماسية على مستوى الانزلاق هي $F \cos\beta$ ، ويكون الإجهاد الماسى على مستوى الانزلاق هو:

$$G = \frac{F \cos\beta}{A'} = \frac{(F \cos\beta)}{(A / \cos\alpha)} = (F/A) \cos\alpha \cos\beta \quad (5-31)$$

مما سبق يتضح أنه عند تأثير إجهاد على مادة ما فإن ذرات هذه المادة تزاح عن مواضع استقرارها إزاحات صغيرة إذا كان هذا الإجهاد في مدى مرونة المادة، وعند قيم أكبر للإجهاد فإن الروابط الذرية تضعف تدريجياً وتتناسب المادة ببطء في مواضع معينة، وعند قيم معينة للإجهاد تسمى بالجهاد الحرجة (Critical stress) يرمز له بالرمز يحدث كسر للروابط الذرية في هذه الموضع ويبدأ المستوى الذري الذي يحوي هذه الذرات في الانزلاق. وقد دلت الفحوص العملية على أن المستويات الذرية التي



شكل (٥): مستوى واتجاه الانزلاق

بسبب إجهاد مماس (a) واجهاد طولي (b)

تعانى انزلقات فى البللورة هى تلك المستويات التى لها درجة تماثل عالية، واتجاه الانزلاق عادة يكون فى الاتجاه الذى يكون خلاله عدد الذرات لوحدة الأطوال كبيرا. والجدول (١) يبين نوع واتجاه الانزلاق فى بعض البللورات البسيطة.

جدول (١): مستوى واتجاه الانزلاق فى بعض البللورات

البللورة	نوع التركيب	مستوى الانزلاق	اتجاه الانزلاق	البللورة	نوع التركيب	مستوى الانزلاق	اتجاه الانزلاق
A	F.C.C	(111)	[110]	Cd	Hexagonal	(0001)	[1120]
Cu	F.C.C	(111)	[110]	NaCl	NaC	(110)	[110]
Ag	F.C.C	(111)	[110]	NaF	NaC	(110)	[110]
Au	F.C.C	(111)	[110]	KCl	NaC	(110)	[110]
Fe	B.C.C	(110)	[111]	KBr	NaC	(110)	[110]
W	B.C.C	(112)	[111]	KI	NaC	(110)	[110]
Mg	Hexagonal	(0001)	[1120]	Ge	Diamond	(111)	[110]
Zn	Hexagonal	(0001)	[1120]	Si	Diamond	(111)	[110]

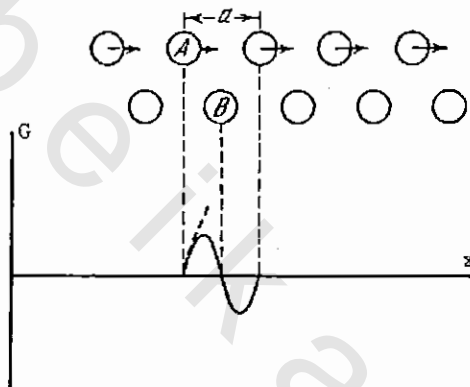
نموذج فرنكل لحساب قيمة الإجهاد الحرj

فى عام ١٩٢٦ م حاول فرنكل حساب قيمة الإجهاد القصى الحرj (Critical shear stress) باستخدام نموذج بسيط مكون من مستويين من ذرات بللورة مثالية (تامة) المسافة بينهما d ، والمسافة بين كل ذرتين فى المستوى هو a ، وأن المستوى العلوى يقع تحت تأثير إجهاد قصى (شكل ١١-٥).

لتحريك الذرة A مسافة صغيرة مقدارها x يلزم التأثير بإجهاد قصي قدره مثلاً وبزيادة قيمة الإجهاد فإن المسافة تزداد. وعموماً فلقد وجد أن العلاقة بين الإجهاد والإزاحة يمكن أن تعطى بالعلاقة الآتية:

$$G = G_C \sin[2\pi(x/a)] \quad (5 - 32)$$

حيث G_C هو الإجهاد القصي الحرج - وهو الإجهاد اللازم لتحريك الذرة A مسافة $a/4$



شكل (5-5): تأثير الإجهاد القصي على بلورة مكونة من مستويين ذريين

والعلاقة بين الإجهاد القصي والانفعال الناتج تعرف بمعامل القص أو معامل المرونة القصي (shear modulus) ويرمز له بالرمز G .

$$\text{i.e } G = G/\varphi \\ = G_C \sin(2\pi x/a) / (x/d)$$

حيث φ هي الانفعال القصي.
وباعتبار أن $x = a/4$ فإن:

$$G_C = Ga/4d \approx G/4$$

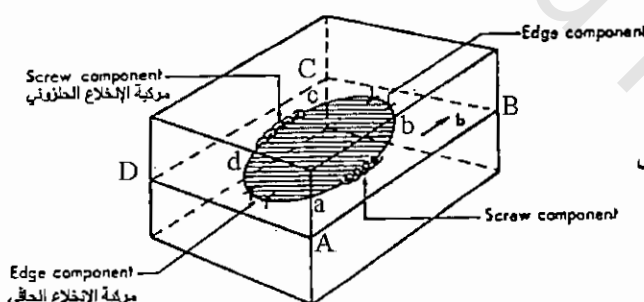
حيث افترضنا أن $a \approx d$.

ولقد وجد أن قيمة G المحسوبة بهذه الطريقة لمعظم المعادن من الدرجة 10^{10} Nm^{-2} فمثلاً (11.6×10^{10}) Fe, (1.4×10^{10}) Pb, (7.5×10^{10}) Cu, (2.8×10^{10}) Al، أي أن الإجهاد القصي الحرج لهذه المواد يكون له قيمة تساوى $1 \times 10^{10} \text{ Nm}^{-2}$ تقريباً، في حين أن النتائج العملية قد بيّنت أن قيمة G_C تتراوح بين $10^5 - 10^6 \text{ Nm}^{-2}$ للبلورات الحقيقية النقية. ومعنى ذلك أن القيمة G_C المحسوبة بنموذج فرنكل تساوى $10^4 - 10^5$ مرة من

القيمة العملية. هذا الاختلاف الكبير بين قيم G المحسوبة بواسطة نموذج فرنكل وبين قيمة التي أمكن الحصول عليها عمليا يدل على فشل هذا النموذج الذي أخذ في اعتباره دراسة البلاورات التامة. وبالتالي، فإن البلاورات الحقيقية تختلف في خواصها الميكانيكية عن البلاورات التامة (المثالية). هذا الاختلاف يرجع إلى وجود كميات كبيرة من التشوهات (العيوب) في التركيب الحقيقي سميت بالانخلاءات dislocations. لذلك، فإنه لشرح المشاهدات العملية للخواص الميكانيكية للبلاورات الحقيقية يلزم وجود تصور كامل لطبيعة وماهية هذا النوع من العيوب. لذا فقد اقترح العلماء بعد ظهور نموذج فرنكل بعده سنوات نموذجا نظريا يعطى تصورا كاملا عن الانخلاءات، حيث استخدم هذا النموذج في تفسير كل الظواهر العملية المتعلقة بالخواص الميكانيكية غير المرنة للبلاورات الحقيقية. وقد تأكد نجاح هذا النموذج بعد ظهور الميكروسكوب الإلكتروني، حيث أمكن معرفة تركيب الانخلاءات تفصيلا. ولقد وجد أن الانخلاءات توجد في صورة حلقات Loops، وكل حلقة يمكن تحليلها إلى نوعين من الانخلاءات هما: انخلاع الحافة والانخلاع الحلزوني.

وصف الانخلاع Geometry of dislocation

الانخلاع الحلقي هو عبارة عن الخط الدائري (contour) أو الحد الفاصل (abcd) بين المساحة المنزلقة والمساحة غير المنزلقة للبلاور (شكل 12-5)، الذي يمكن تعريفه بأنه المنطقة غير المستقرة بين الجزئين ABCD & abcd.



شكل (12-5): الانخلاع الحلقي

فإذا وقعت البلاور تحت تأثير إجهاد قصي، فإن الانخلاع يتحرك وينمو خلال مستوى الانزلاق ABCD حتى يصل إلى أحد سطوح البلاور (ولتكن BC مثلاً)، ونتيجة لذلك فإنه عند الخط BC نجد أن جزء البلاور العلوي قد أزيل بقيمة معينة تعطى بواسطة متجه بيرجر b (burger vector)， وهو متجه يحدد قيمة واتجاه الانزلاق.

وفي أثناء حركة الانخلال فإن النسبة بين المساحة $abcd$ ومساحة مستوى الانزلاق $ABCD$ والتي تسمى بنسبة أو كسر الانزلاق (Fraction of slip) تعطى كالتالي :

$$F_s = \frac{\text{المساحة}(abcd)}{\text{المساحة}(ABCD)} \quad (5-33)$$

وكما ذكرنا من قبل، فإن الانخلال الحلقي يتكون من نوعين من الانخلالات هما انخلال الحافة والانخلال الحلزوني، ويكون المتجه b في حالة انخلال الحافة عموديا على خط الانخلال، وفي حالة الانخلال الحلزوني يكون موازيا لخط الانخلال.

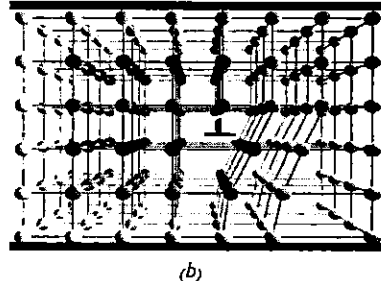
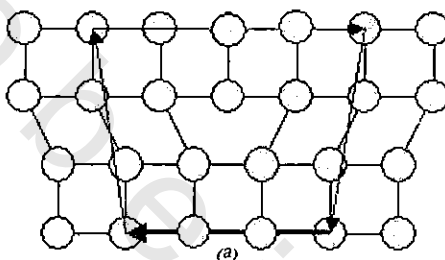
انخلال الحافة Edge dislocation

شكل (5-13) يعطى موضع الذرات في تركيب بللورى يعاني تشويفها بسبب وجود انخلال حافى. هذا التشويف يكافئ التشوه الناتج بسبب حشر مستوى ذرى إضافى فى الجزء العلوى للبللورة. فمثلا لو حشرنا مستوى ذرى sheet of atoms فى بللورة مكعبية - شكل (5-14.a)، فإن هذا المستوى يعمل على ضغط المسافة بين الذرات فى الجزء العلوى منها، ولما كانت المسافة بين هذه الذرات لها قيمة ثابتة، فإن التنصف العلوى من البللورة ينبعج فى المنطقة القريبة من المستوى الذرى الإضافى، بينما تظل أبعاد البللورة كما هي فى الأجزاء بعيدة، ويحدث تشويف كبير على طول الطرف السفلى للمستوى الذرى الإضافى، وتسمى المنطقة التى يحدث فيها أكبر تشويف بقلب الانخلال core of dislocation، وهى منطقة الجوار المباشر للحافة السفلية للمستوى الذرى الإضافى والتى تمتد بطول هذه الحافة. فإذا أثرت قوة من الشمال مثلًا (ال Kelvin)، فإن الانخلال يتحرك فى اتجاه اليمين، أى يكون اتجاه الانزلاق عموديا على خط الانخلال. وفي منطقة قلب الانخلال يكون التشوه عاليا لدرجة أن عدد أقرب الجيران Coord. No. يمكن أن يختلف عنه فى التركيب البللورى الأصلى. وتقل درجة التشوه بالابتعاد عن هذا القلب، حيث على بعد عدة مسافات ذرية منه يصبح التشوه صغيرا جدا أو غير موجود.

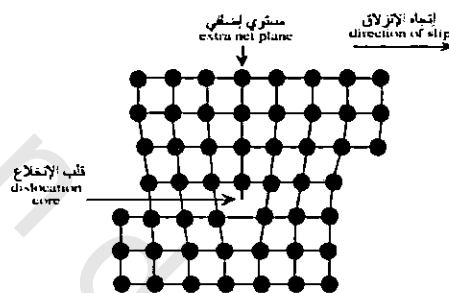
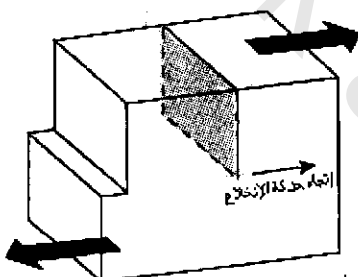
الانخلال الحلزونى Screw dislocation

التشوه الحادث للبللورة نتيجة لتواجد انخلال حلزونى يكافئ التشوه الناتج فى

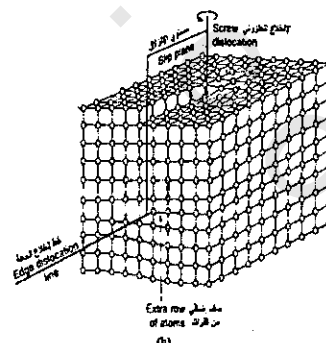
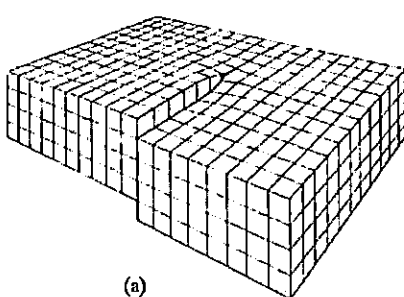
ببلوره بعد إجراء العملية التالية عليها، نأخذ الببلوره ونقطع بها قطعا رفيعا إلى عمق معين، بعد ذلك نحرك أحد جانبي الببلوره حول القطع إلى أعلى مسافة ذرية واحدة بالنسبة للنصف الآخر، ثم نضغط على جانبي الببلوره بحيث تقع كل الذرات حول القطع في مستوى واحد. هذا المستوى عبارة عن سطح حلزوني كما هو مبين في شكل (5-15).



شكل (5-13): انخلاع الحافة في بعدين (a) وفي ثلاثة أبعاد (b)



شكل (5-14) انخلاع الحافة الناتج بسبب حشر مستوى ذري إضافي ينزلق عموديا على خط الانخلاع (a) ويحدث أكبر تشوه في منطقة قلب الانخلاع (b)



شكل (5-15): الانخلاع الحلزوني يكافئ التشوه الناتج عن إحداث قطع رفيع في الببلوره (a) ويكون مستوى الذرات حول القطع حلزونيا (b)

سرعة الانخلاع الناتج من تأثير إجهاد قصى

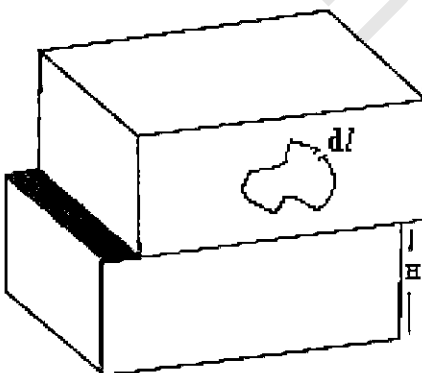
ذكرنا فيما سبق أنه بدلالة المتجه σ يمكن تحديد مقدار واتجاه الانزلاق للانخلاعات، وقد أخذت قيمة هذا المتجه مساوية لثابت الشبكية، حيث إنها أقل قيمة تكفي لحشر مستوى ذرى واحد (أى لعمل انخلاع بسيط)، وعليه فإن قيمة الإزاحة لأى انخلاع تساوى عدد المسافات الذرية التى يتحركها الانخلاع مضروبة فى قيمة المتجه σ . فإذا اعتبرنا انخلاعاً حلقياً داخل بللورة (شكل 16-5) وأنه نتيجة لتأثير إجهاد قصى تحرك الانخلاع مسافة a ، حيث في النهاية نشأ بروز في النصف العلوي للبللورة بالنسبة لنصفها السفلى، وإذا افترضنا أن عنصر الانخلاع dS قد تحرك مسافة dl ، فإن الإزاحة الناتجة للانخلاع تعطى من:

$$(dS \cdot dl) / A = \text{مقدار الإزاحة}$$

$$(\text{مقدار الإزاحة}) / H = (dS \cdot dl) / AH \quad b = (dS \cdot dl) / V \quad b$$

$$(d\Phi / dt) = (dl / dt) \cdot (dS / V) \quad b = v \cdot (dS / V) \quad b$$

حيث V هي سرعة الانخلاع، (dS / V) تمثل كثافة الانخلاءات في البللورة (حيث تعبّر عن طول الانخلاءات في وحدة الحجم من البللورة).

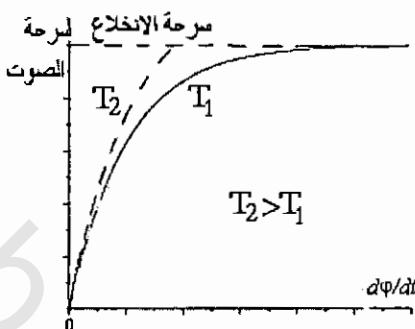


شكل(16-5): حركة الانخلاع الحلقي
تحت تأثير إجهاد قصى

واضح أنه بزيادة معدل الانفعال القصى (d / dt) في البللورة فإن سرعة الانخلاع تزداد. ولقد وجد أن أقصى قيمة لهذه السرعة هي سرعة الصوت في المادة، كما وجد أن درجة الحرارة تزيد من هذه السرعة (كما هو مبين في شكل 16-5).

ولقد تبيّن عملياً أن وجود الانخلاءات في البللورة يزيد من ليونتها، حيث تزداد الطاقة الداخلية للبللورة مع كثافة الانخلاءات، وأن الانخلاع الواحد يرفع الطاقة

الداخلية للبللورة بمقدار يتراوح بين $5-10\text{ eV}$ لكل مستوى ذري يمر فيه الانخلاء.



شكل(17-5) : علاقة سرعة الانخلاء
بمعدل الانفعال في البللورة

كذلك ثبت علمياً أن وجود الانخلاءات يمكن أن يؤدى إلى ظواهر متعددة للسلوك المعدني، فالمعادن الشائبية أو السبائك المعدنية تكون عادة أكثر متانة من المعادن النقيّة، لأن الشوائب والعيوب البللورية تنجذب للانخلاء، وعندما يحمل الانخلاء بالشوائب لا يتمكن من الحركة بسهولة ويؤدي ذلك إلى زيادة الصلادة.

ويشكل عام قد يؤدى وجود العيوب إلى تحسين الخصائص الميكانيكية للمادة الصلبة مثل مقاومة الإذعان yield strength، الليونة ductility، والخشونة ...roughness إلخ. فمثلًا الخصائص الهامة تكنولوجياً لللحديد الصلب جاءت نتيجة لحشر ذرات الكربون interstitial incorporation في شبكة الحديد، كذلك خصائص سبيكة النحاس الأصفر (Brass: نحاس + زنك) المميزة مقارنة بتكويناتها المعدنية تأتي بسبب التقوية الناتجة عن الذرات الإحلالية solution strengthening، والصلادة الناتجة للمعادن بعد طرقها وهي ساخنة لدرجة الاحمرار (الطريقة المتّبعة منذ قرون) مما يتسبّب في تكوين انخلاءات داخل المعدن تعمل على زيادة مقاومة الإذعان له. ومن ناحية أخرى، قد تأكّد أن التشويه اللدن plastic deformation يحدث عندما يوجد عدد كبير من الانخلاءات التي تتحرّك ويتضاعف عددها، وبمعنى آخر فإن حركة الانخلاءات في المادة قد تحدث تشويهاً ماكروسکوپيا macroscopic deformation يؤدي إلى إذعان المادة وفقدانها لخواصها الميكانيكية المرغوبة (شكل 9-5). وكما نعلم فإن قيمة الإجهاد اللازم لتحريك الانخلاء تكون أقلّ بعدة رتب منها للإجهاد النظري المطلوب لإزاحة مستوى ذري كامل، لذلك يكون تأثير الإجهاد لتحريك الانخلاء مفضلاً أكثر من الناحية الطاقية. هذه السهولة الحرجة لحركة الانخلاءات تؤثّر سلباً على

صلادة المادة وقوتها. وبالتالي فإنه لتحسين الخصائص الميكانيكية للمادة (أى زيادة مقاومة المادة للإذعان والشد yield and tensile strengths) فإنه ببساطة نحتاج إلى ميكانيكية تعمل على إعاقة تحركية هذه الانخلاءات والحد من انتشارها. وتوجد أربع طرق أساسية لتقوية المعادن، كل منها تعمل على منع حركة الانخلاءات وانتشارها، أو تجعلهما غير مفضلين من الناحية الطاقية، هذه الطرق عرفت بميكانيكيات التقوية strengthening mechanisms.

ميكانيكيات تقوية المعادن

١- صلادة التشغيل work hardening

العامل الرئيسي المسئول عن صلادة التشغيل هو تفاعل الانخلاءات فيما بينها، فعندما يكون عدد الانخلاءات كبيراً تحدث هذه التفاعلات مولدة مجالات إجهادية stress fields في المادة. هذه المجالات الإجهادية تبدي تفاعلات تنافر أو تجاذب فيما بينها تؤدي إلى إعاقة حركة الانخلاءات. إضافة لذلك، إذا تقاطع انخلاعان يحدث تشابك لخطي الانخلاعين يؤدي إلى ظهور نتوء (jog)، هذه التشابكات والنتوءات تعمل كنقاط وتدية أو إبرية pinning points تعارض حركة الانخلاع.

وترتبط كثافة الانخلاءات ρ بقوة مقاومة الإذعان σ_y بالعلاقة التالية:

$$\sigma_y = Gb\sqrt{\rho_L}$$

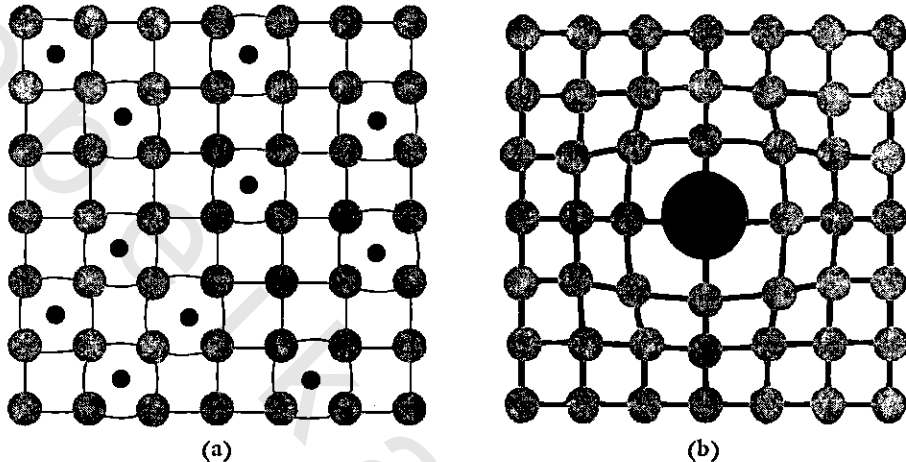
وتبيّن العلاقة السابقة أنه بزيادة كثافة الانخلاءات تزداد مقاومة المادة للإذعان، أي يزداد الإجهاد القصى المطلوب لتحريك الانخلاءات. هذه العملية يمكن ملاحظتها بسهولة في أثناء شغل المادة.

٢- ميكانيكية التقوية عن طريق المحلول الصلب

Solid solution strengthening/ alloying

في هذه الطريقة تذاب ذرات عنصر ما في عنصر آخر، حيث ينتج عيوب نقطية إحلالية أو حشرية (بينية) في البلورة (شكل 18-5). هذه الذرات المذابة تسبب تشوهات distortions للشبكة تعمل على إعاقة حركة الانخلاع، وبالتالي زيادة إجهاد الإذعان للمادة. كما ينشأ حولها مجال إجهاد يمكن أن يتفاعل مع هذه

الانخلاعات. وبسبب انتشار الذرات المذابة في المادة فإن الإجهادات التي قد تكون إجهادات ضغط أو شد طبقاً لحجم الجسيم المذاب تنتشر خلال الشبكة وتتدخل مع الانخلاعات القريبة مسببة إعاقتها. هذا يعني أن الذرات المذابة تؤثر كحواجز جهدية potential barriers تمنع انتشار الانخراج وتعيق نموه أو كليهما معاً.



شكل (18-5): إنفعال الشبكة نتيجة إضافة الذرات المذابة البينية (a) والإحلالية (b)

ويعطى الإجهاد القصى المطلوب لتحريك الانخلاعات في المادة بالعلاقة التالية:

$$\Delta \tau = G b \sqrt{c} \varphi^{\frac{3}{2}}$$

حيث C هو تركيز المذاب، الانفعال الناتج في المادة بسبب المذاب.
زيادة تركيز الذرات المذابة يؤدى إلى زيادة إجهاد الإذعان للمادة، ولكن يوجد حدود لكمية المذاب المضاف قبل ظهور الطور الثانى second phase في السبيكة بسبب التشبع الفائق supersaturating.

٣- ميكانيكية صلادة المترسبات

precipitation hardening mechanism

تحضير السبيكة ل معظم الأنظمة الثنائية binary systems عند تركيزات أعلى من قيمها المحددة بواسطة المخطط الطوري phase diagram يكون مصحوباً بوجود طور ثانٍ، هذا الطور يمكن تكوينه أيضاً بواسطة المعالجة الحرارية أو الميكانيكية. جسيمات

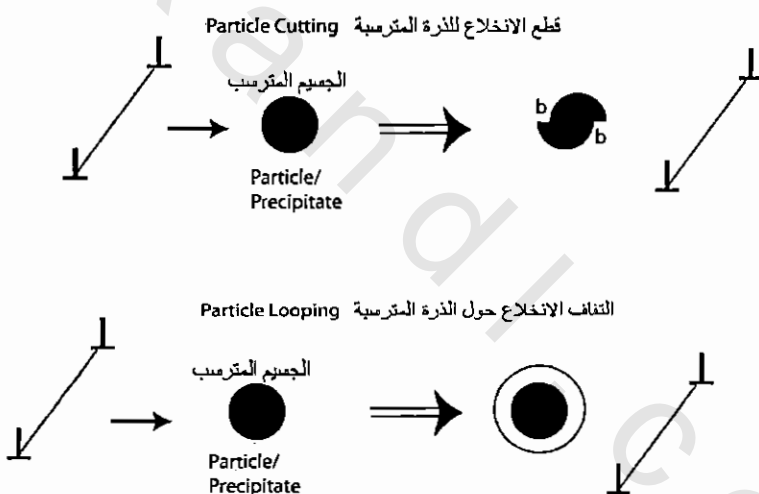
مترببات الطور الثاني تعمل كنقط وتدية أو إبرية بنفس طريقة المذاب السابقة، هذه الجسيمات لا تكن بالضرورة ذرات مفردة. الانخلاعات في المادة تتفاعل مع هذه الجسيمات المترببة بإحدى طريقتين (شكل ١٩-٥) :

١- إذا كانت المترببات صغيرة الحجم ذات نصف قطر في حدود 5nm فإن الانخلاعات تقطعها، وهذا يؤدي إلى تغير مساحة سطح الجسيمات المعرض للمادة matrix، وبالتالي تزيد الطاقة السطحية بين الجسم والمادة. ويعطي الإجهاد القصوى ΔT بدلالة نصف قطر الجسم b وطول الانخلاع L كالتالي :

$$\Delta T = \frac{gb\pi}{bL}$$

٢- أما إذا كانت الجسيمات المترببة أكبر ونصف قطرها في حدود 30nm ، فإن الانخلاعات تلتف حول الجسيمات على شكل تقوس looping أو حلقة bowing يجعل الانخلاعات أكثر طولاً. ويعطي الإجهاد القصوى بدلالة نصف قطر الجسم وطول الانخلاع في هذه الحالة بالعلاقة التالية :

$$\Delta T = \frac{gb}{L-2r}$$



شكل (١٩-٥): رسم توضيحي لتفاعل الانخلاعات مع الجسيم، إما ينقط معه أو يتقوس حوله مكوناً انخلاع حلقي

١- ميكانيكية الحدود بين الحبيبات

Grain boundary strengthening

في العادن عديدة التبلور polycrystalline يكون حجم الحبيبات ذا تأثير هام جداً

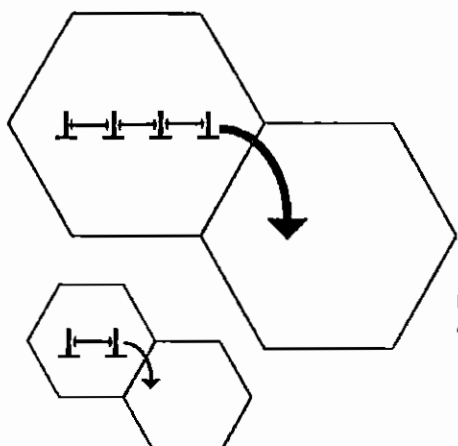
على الخصائص الميكانيكية، وحيث إن الحبيبات عادة تتبلور في اتجاهات مختلفة فإنها ينشأ حدود فاصلة بين هذه الحبيبات. فعندما يحدث تشويه للمادة ينتج عنه حركة انزلاقية، فإن هذه الحدود بين الحبيبات تعمل كعائق لحركة الانخلال، وذلك للسببين التاليين:

١. لابد للانخلال أن يغير اتجاه حركته ليتناسب اتجاه تبلور الحبيبات.
٢. عدم اتصال مستوى الانزلاق من الحبيبة ١ إلى الحبيبة ٢ المجاورة.

وتعتمد قيمة الإجهاد المطلوب لتحريك الانخلال من حبيبة إلى أخرى والذى يسبب تشويهها يؤدى إلى إذعان المادة plastic deformation على حجم الحبيبات grain size . وكما نلاحظ من شكل (٢٠-٥) فإن حجم الحبيبات الكبير يساعد على تراكم الانخلالات مما يؤدى إلى زيادة القوة المحركة لها من حبيبة إلى أخرى، كما يقل متوسط عدد الانخلالات لكل حبيبة مع نقص الحجم المتوسط للحبيبات. وهذا يؤدى إلى نقص ضغط الانخلال على الحدود بين الحبيبات بسبب صغر القوة المحركة للانخلالات، الأمر الذى يزيد من صعوبة حركة الانخلالات بين الحبيبات المجاورة. والعلاقة بين إجهاد الإذعان σ_y ومتوسط طول قطر الحبيبات d والتي تعرف بعلاقة هول-بيتش Hall-Petch تعطى كالتى:

$$\sigma_y = \sigma_{y,0} + \frac{k}{d^x}$$

حيث هو إجهاد الإذعان الأصلى، k ثوابت.
الحبيبات grain boundary sliding phenomenon.



شكل (٢٠-٥): رسم توضيحي لنفهم تراكم الانخلالات وكيفية تأثيرها على مقاومة المادة للتشويه

وحقيقة أن إجهاد الإذعان يزيد مع نقص حجم الحبيبات لا تكون مطلقة، لأن حجم الحبيبات لا يقل إلى مالانهاية. حيث وجد أنه عندما يقل حجم الحبيبات يظهر فراغ يؤدي إلى عدم توازن شبكي lattice mismatch، وعند قيمة أقل من 10nm تقريباً للقطر المتوسط للحبيبات يحدث انزلاق للحدود بين الحبيبات وهو مايعرف بظاهرة انزلاق أو تلاشى الحدود grain-boundary sliding.

